

# EVALUACIÓN DEL COEFICIENTE DE CONDUCTIVIDAD Y TRANSMITANCIA TÉRMICA DE ELEMENTOS CONSTRUCTIVOS DE TIERRA

Recibido 28/12/2022  
Aceptado 12/04/2023

## EVALUATION OF THE THERMAL CONDUCTIVITY AND TRANSMITTANCE COEFFICIENT OF EARTHEN CONSTRUCTIVE ELEMENTS

## VALIAÇÃO DO COEFICIENTE DE CONDUTIVIDADE E TRANSMITÂNCIA TÉRMICA DE ELEMENTOS CONSTRUTIVOS DE TERRA

### **Santiago Cabrera**

Grupo de investigación y desarrollo en técnicas de construcción con tierra, Facultad Regional Santa Fe  
Universidad Tecnológica Nacional, Santa Fe, Argentina  
<https://orcid.org/0000-0003-1300-4927>  
spcabrera@outlook.com

### **Anabela Guillarducci**

Centro de investigación y desarrollo para la construcción y la vivienda, Facultad Regional Santa Fe  
Universidad Tecnológica Nacional, Santa Fe, Argentina  
<https://orcid.org/0000-0002-0216-7264>  
aguillarducci@frsf.utn.edu.ar

### **Dianela González**

Centro de investigación y desarrollo para la construcción y la vivienda, Facultad Regional Santa Fe  
Universidad Tecnológica Nacional, Santa Fe, Argentina  
<https://orcid.org/0000-0002-0197-2288>  
dgonzalez@frsf.utn.edu.ar

### **Mariano Suarez**

Centro de investigación y desarrollo para la construcción y la vivienda,  
Universidad Tecnológica Nacional, Facultad Regional Santa Fe, Argentina  
<https://orcid.org/0000-0002-2291-7982>  
msuarez@frsf.utn.edu.ar



## RESUMEN

En este trabajo se pretende determinar la conductividad térmica de diferentes elementos constructivos de tierra producidos con materiales característicos del centro este de la provincia de Santa Fe (Argentina) y evaluar su aptitud para ser empleados en la construcción de envolventes que cumplan con los requerimientos de aislación térmica solicitados por la normativa nacional correspondiente. Para ello se confeccionaron probetas siguiendo las diferentes técnicas de construcción con tierra empleadas en la región (bloque de tierra comprimida, adobe, tapia, quincha y revoques) y se midió su coeficiente de conductividad térmica, con el cual se calculó la transmitancia térmica de diferentes paquetes constructivos de tierra. Los resultados obtenidos indican que las técnicas de construcción con tierra evaluadas presentan, en todos los casos, un mejor desempeño térmico que los tradicionales muros de ladrillo cerámico macizo o bloques de hormigón, siendo la quincha la técnica con mayor capacidad de aislamiento térmico.

### Palabras clave

aislamiento térmico, muros, materiales de construcción

## ABSTRACT

The aim of this work is to determine the thermal conductivity of different earthen constructive elements produced with materials typical of the central-eastern part of the Province of Santa Fe (Argentina), and to evaluate their suitability to be used in the construction of envelopes that comply with the thermal insulation requirements of the corresponding National Regulations. For this purpose, test specimens were made following the different earth construction techniques used in the region (compressed earth block, adobe, rammed earth (*tapia*), wattle and daub (*quincha*), and plaster), and their thermal conductivity coefficient was measured, with which the thermal transmittance of different earth construction packages was calculated. The results obtained indicate that the earth construction techniques evaluated show, in all cases, a better thermal performance than traditional solid ceramic brick or concrete block walls, with wattle and daub being the technique with the highest thermal insulation capacity.

### Keywords

climate change, housing, sustainable development, resilience

## RESUMO

O objetivo deste trabalho é determinar a condutividade térmica de diferentes elementos construtivos de terra produzidos com materiais característicos do centro-leste da província de Santa Fé (Argentina) e avaliar sua adequação para uso na construção de envelopes de edifícios que atendam aos requisitos de isolamento térmico dos regulamentos nacionais correspondentes. Para isso, foram feitos corpos de prova de acordo com as diferentes técnicas de construção com terra utilizadas na região (bloco de terra comprimida, adobe, tapia, quincha e gesso) e foi medido seu coeficiente de condutividade térmica, com o qual foi calculada a transmitância térmica de diferentes pacotes construtivos de terra. Os resultados obtidos indicam que as técnicas de construção com terra avaliadas apresentam, em todos os casos, melhor desempenho térmico do que as tradicionais paredes sólidas de tijolos cerâmicos ou blocos de concreto, sendo a quincha a técnica com maior capacidade de isolamento térmico.

### Palavras-chave:

isolamento térmico, paredes, materiais de construção.

## INTRODUCCIÓN

Frente al contexto de crecimiento continuo respecto de los precios de la energía a nivel mundial y en pos de apoyar los esfuerzos globales para mitigar el calentamiento global, la utilización de envolventes adecuados a los contextos locales se configura como una estrategia para mejorar la eficiencia energética de los edificios. La elección de envolventes adecuados presenta beneficios, no sólo en cuanto a los ahorros energéticos de los espacios, la mejora del microclima interior y la reducción de emisiones contaminantes obtenidos, sino también en relación con la viabilidad técnica y económica de un proyecto (Balter et al., 2020).

En este contexto, pueden resaltarse las potencialidades de los muros de cerramiento contruidos con tierra, cuya continuidad histórica se debe en gran medida a la abundancia de su materia prima, la economía de sus procesos constructivos, sus cualidades bioclimáticas y a la armonía de su interrelación con el ambiente natural en que se desarrolla (Pacheco-Torgal & Jalali, 2012). Esto lo saben, sustentan y defienden los pueblos con tradiciones locales, especialmente aquellas ligadas a cultos ancestrales con la tierra, quienes con sabiduría popular producen arquitectura adecuándose al clima y costumbres de cada sitio y sociedad (Fernandes et al., 2019).

Existen numerosas técnicas y sistemas constructivos que emplean tierra como materia prima preponderante (Rotondaro, 2018), sin embargo, estas pueden clasificarse de manera simplificada dentro de las siguientes categorías:

- **Técnicas mixtas:** la tierra se emplea como material de relleno y revestimiento, valiéndose de una estructura portante independiente, generalmente construida con madera. Las técnicas más empleadas en Argentina son: la quincha, la cual se caracteriza por su estructura secundaria de cañas o listones de madera equiespaciados entre 10 y 15 cm y dispuestos en sentido horizontal o diagonal; la tierra alivianada o paja encofrada y el enchorizado (Esteves & Cuitiño, 2020).
- **Técnicas monolíticas:** mediante el moldeo directo con las manos o la utilización de encofrados móviles llenos con morteros compactados o vertidos, se construyen muros monolíticos, generalmente con capacidad portante. El mayor exponente de estas técnicas es la tapia (Tepale Gamboa, 2016).
- **Técnicas de albañilería:** aquellas que emplean componentes prefabricados de pequeñas dimensiones, producidos previamente a la construcción de la vivienda. Estos componentes se adhieren entre sí empleando morteros de tierra. Los muros contruidos con bloques de tierra comprimida

(BTC) o adobes son ejemplos de estas técnicas (Dorado et al., 2022).

Una de las características más importantes de la tierra como material de construcción se relaciona con sus propiedades térmicas, en particular con su capacidad de transmitir calor. Esta capacidad se puede definir en función de una de sus propiedades físicas fundamentales: el coeficiente de conductividad térmica ( $\lambda$ ), a partir del cual puede determinarse la transmitancia térmica de una envolvente (K) directamente vinculada a su aislamiento térmico (Cuitiño et al., 2020).

A pesar de la extensa bibliografía existente sobre las propiedades térmicas de los materiales, no se han publicado en textos académicos investigaciones sobre el coeficiente de conductividad térmica de elementos constructivos de tierra producidos con materiales propios de la provincia de Santa Fe (Argentina), lo cual imposibilita el cálculo preciso de la transmitancia térmica de los muros de cerramiento contruidos con estos elementos.

En lo que respecta al marco normativo, en Argentina son varias las normas que definen los lineamientos de acondicionamiento térmico de las edificaciones. Por ejemplo, la norma IRAM 11601:2010 establece la densidad aparente y conductividad térmica de los materiales de construcción más empleados en el país y el procedimiento de cálculo para determinar la resistencia térmica y su inversa. Asimismo, determina la transmitancia térmica (K) de muros y cerramientos, cuyos valores deberían ser inferiores a los máximos admisibles establecidos por las normas IRAM 11605:2010 e IRAM 11900:2017 para cada región del País, definidas en la norma IRAM 11603:2012. Sin embargo, en lo que respecta a las propiedades térmicas de los elementos constructivos elaborados con tierra, este conjunto de normas únicamente indica el valor de la conductividad térmica de BTC con densidad de 1800 kg/m<sup>3</sup>. De esta manera, la determinación del coeficiente de conductividad térmica para diferentes elementos constructivos de tierra producidos con materiales locales es crucial para el desarrollo normativo en Argentina. El objetivo de este trabajo, por lo tanto, consiste en determinar el coeficiente de conductividad térmica de diferentes elementos constructivos de tierra producidos con materiales característicos del centro este de la provincia de Santa Fe (Argentina) y evaluar su aptitud para ser empleados en la construcción de muros que cumplan con los requerimientos de aislamiento térmico solicitados por la normativa nacional correspondiente.

## ANTECEDENTES

La medición del coeficiente de conductividad térmica ( $\lambda$ ) de diferentes elementos constructivos de tierra ha sido ampliamente estudiado a nivel internacional, resaltándose los artículos publicados por Laborel-Préneron et al. (2018), Saidi et al. (2018) y El Fgaier et

al. (2016), en los cuales se determinó el coeficiente de conductividad térmica de adobes. Por su parte, se encuentran también las determinaciones realizadas por Millard y Aubert (2014) sobre bloques de tierra extruidos; y las efectuadas por Cagnon et al. (2014) y Ouedraogo et al. (2020) sobre BTC. Además, son de relevancia las investigaciones realizadas por Mosquera Arancibia (2013) para su tesis doctoral sobre la efectividad de emplear el método de la "aguja caliente" para determinar el  $\lambda$  en adobes y BTC; asimismo, el estudio realizado por Wieser et al. (2018) en el cual se evaluó la conductividad térmica sobre muestras de quincha, tierra alivianada y morteros de tierra; y, por último, la tesis desarrollada por Cabrera Córdova (2019) en la cual se determinó, entre otros parámetros, la conductividad térmica de adobes, revoques de tierra y empetate.

A pesar de los antecedentes mencionados, en Argentina son pocas las líneas de investigación desarrolladas a fin de cuantificar las propiedades térmicas de los materiales de tierra. En este sentido, se mencionan los trabajos realizados por Costantini Romero et al. (2021) y Costantini Romero y Francisca (2022), en los cuales se determinó el coeficiente de conductividad térmica de BTC producidos en la ciudad de Córdoba (Arg.) y el realizado por Cuitiño et al. (2015), en el que se determinó la transmitancia térmica (K) de diferentes paneles de quincha.

Debe mencionarse, además, que los resultados publicados en las investigaciones referenciadas, a pesar de encontrarse dentro de rangos similares, presentan diferencias significativas, motivadas principalmente por el tipo de suelo empleado en la confección de las probetas, la metodología de moldeo de estas y el equipo de ensayo utilizado. En lo que respecta a los equipos y metodologías empleados para la determinación de  $\lambda$ , se han utilizado los denominados métodos de la caja caliente<sup>1</sup>, aguja térmica<sup>2</sup> y placas calientes<sup>3</sup>.

Finalmente, es importante destacar los trabajos realizados por el Comité RILEM (Fabbri et al., 2022), Volhard (2016), Cuitiño et al. (2020) y Minke (2005) en los cuales, pese a no efectuarse determinaciones directas de la conductividad térmica de los elementos constructivos de tierra, sí se realiza un análisis profundo de la variación de este coeficiente en función de variables como la técnica de construcción y la densidad de los elementos constructivos.

## METODOLOGÍA

### MATERIALES

La tierra empleada para la fabricación de las diferentes muestras se obtuvo de una cantera situada en la comuna de Monte Vera (Santa Fe, Arg.). En trabajos previos (Cabrera et al., 2022) se identificó el suelo empleado como una "arcilla de baja plasticidad CL" con un contenido de 54% de limo, 32% de arcilla y 14% de arena fina. Asimismo, las semicuantificaciones realizadas por DRX confirman que, desde el punto de vista mineralógico, el mineral preponderante es el cuarzo (65%), seguido por filosilicatos (arcillas) (25%) y feldespatos (9%). Los difractogramas de los agregados orientados de la fracción arcillosa de la tierra indican que los filosilicatos presentes en ella son illita, caolinita y esmectita.

La arena fina empleada en la corrección granulométrica posee una distribución de tamaños uniforme, en cuanto a que más del 90% de sus partículas poseen un tamaño comprendido entre 0.5 y 0.1 mm. Además, no se advierten aristas ni formas angulares en sus granos, presentando todos ellos una forma redondeada. Desde el punto de vista mineralógico, sus granos están constituidos mayoritariamente por cuarzo (95% en peso), contando únicamente con un 1% de arcillas.

La arena gruesa, también de sílice y con una distribución de tamaños de entre 2 y 3 mm, fue adquirida en la empresa Gravafilt en la ciudad de Paraná (Arg.), quienes la extraen por dragado en la cuenca alta del río Paraná, la clasifican y comercializan con diferentes granulometrías. Esta arena se utilizó únicamente en la confección de las muestras de tapia.

Para la fabricación de las probetas de adobe, quincha y revoque grueso se empleó, como fibra vegetal, paja de trigo adquirida en las proximidades de la ciudad de Santa Fe (Arg.). A pesar de que la paja empleada en la confección de los diferentes tipos de probetas fue la misma, esta fue cortada en diferentes longitudes: 2 cm para revoques gruesos, 3 cm para adobes y entre 10 y 12 cm para el relleno de quincha. En la Figura 1 pueden apreciarse los materiales empleados en la confección de los diferentes tipos de probetas.

---

**1** Determina el coeficiente  $\lambda$  y la conductividad K de un cerramiento en régimen estacionario y a escala real, siendo la probeta un muro que separa dos ambientes con diferentes temperaturas.

**2** Determina el coeficiente  $\lambda$  en régimen no estacionario introduciendo dentro del material a evaluar una aguja metálica con calefactor y termocupla, midiendo su variación de temperatura a lo largo del tiempo.

**3** Se determina el coeficiente  $\lambda$  en régimen estacionario sobre una probeta con forma de placa de entre 10 y 90 mm de espesor, que se coloca entre 2 placas a diferentes temperaturas. Las placas están confinadas dentro de una caja paralelepípedo de alto aislamiento térmico.

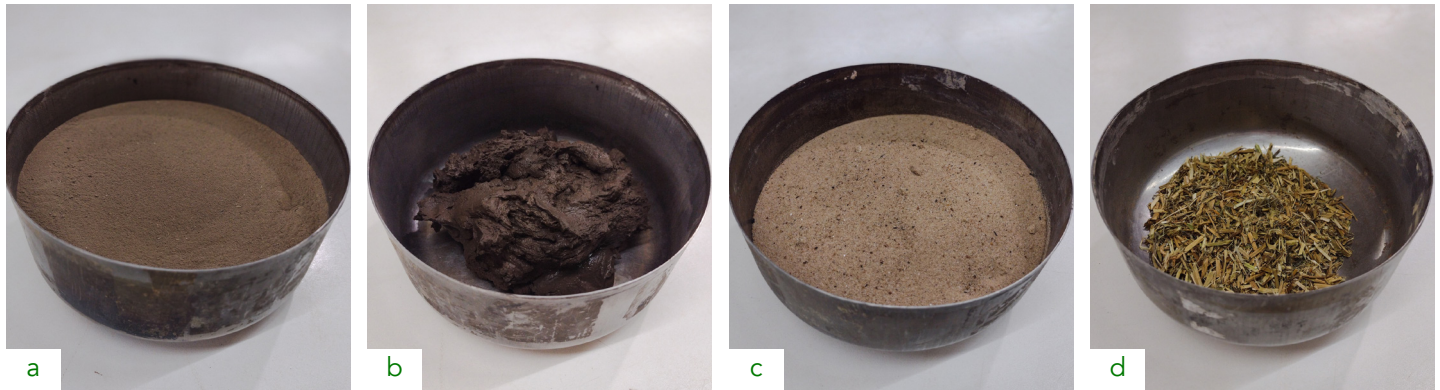


Figura 1. Materiales empleados en la confección de probetas: a) tierra, b) barro (mezcla de tierra y agua), c) arena fina y d) paja de trigo de 3 cm de longitud. Fuente: Elaboración de los autores.

Tabla 1. Dosificación empleada en la confección de las probetas. Fuente: Elaboración de los autores.

Material	Proporción en % del peso seco				Agua* (%)	Relación agua/tierra
	Tierra	Arena fina	Arena gruesa	Paja		
(a) BTC	70.0	30.0	-	-	11.7	0.17
(b) Adobe	96.5	-	-	3.5	32.6	0.34
(c) Relleno de quincha	93.8	-	-	6.2	60.1	0.64
(d) Tapia	60.0	20.0	20.0	-	11.0	0.18
(e) Revoque grueso	67.5	29.1	-	3.4	23.3	0.34
(f) Revoque fino	35.0	65.0	-	-	16.3	0.47

\* % determinado en función del peso seco de la tierra.

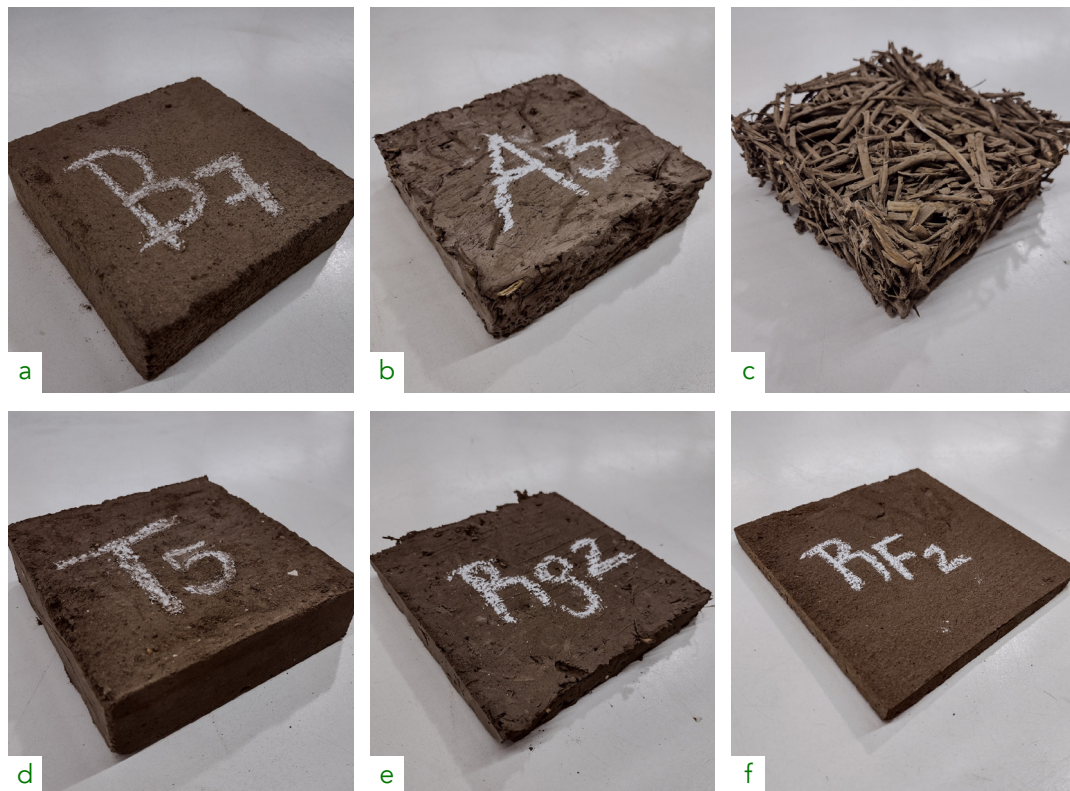


Figura 2. Probetas representativas de las diferentes técnicas constructivas de tierra: a) BTC, b) adobe, c) relleno de quincha, d) tapia, e) revoque grueso y f) revoque fino. Fuente: Elaboración de los autores.

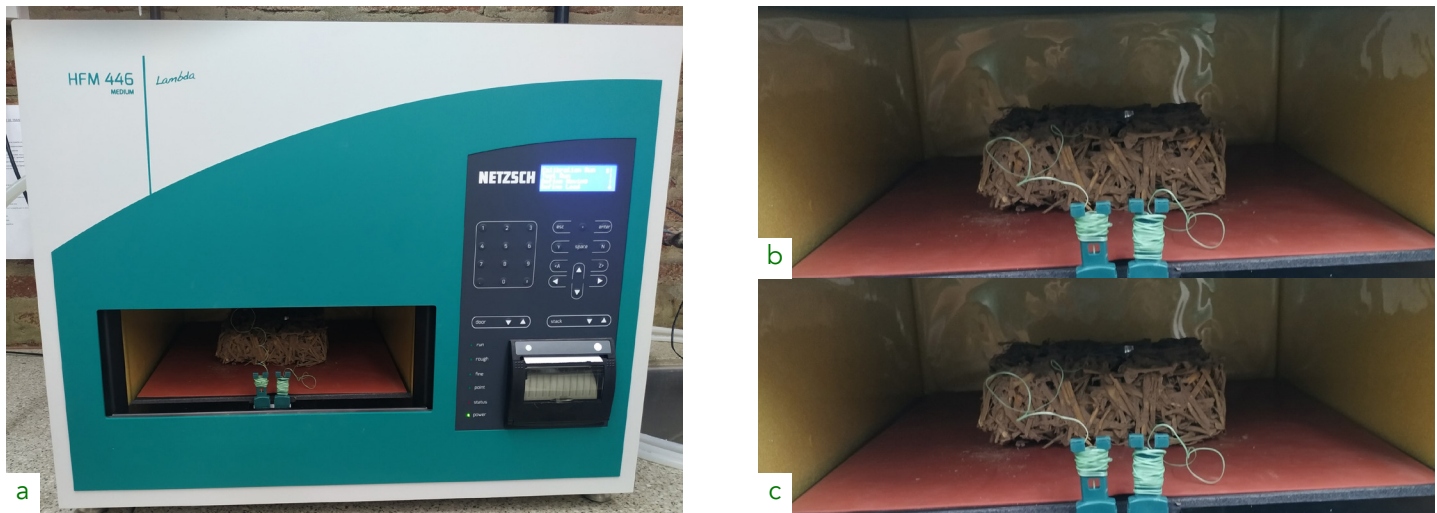


Figura 3. a) Equipo HFM 446, b) termocuplas adicionales y c) film de silicona empleados en la determinación del coeficiente de conductividad térmica. Fuente: Elaboración de los autores.

## CONFECCIÓN DE PROBETAS

Por cada técnica constructiva fueron confeccionadas 3 probetas de 13 x 13 x 4 cm (con excepción de las de revoque fino, de 2 cm de espesor), generando así un total de 18 probetas, cuyas dosificaciones se exponen en la Tabla 1. Las probetas de BTC se confeccionaron cortando, con una sierra circular de banco, bloques enteros producidos en laboratorio con una prensa de accionamiento manual Altech Geo 50, los cuales, por no estar estabilizados con cemento Portland, no fueron curados, dejándose secar por 7 días resguardados de la intemperie.

Las probetas de adobe, revoque grueso y revoque fino se elaboraron vertiendo la mezcla húmeda dentro de cada molde, acomodándola de manera tal de no generar vacíos ni oquedades. Luego de 24 h se realizó el desmolde de las probetas, dejándolas secar por 7 días en condiciones de temperatura y humedad de laboratorio ( $24\text{ }^{\circ}\text{C} < t < 27\text{ }^{\circ}\text{C}$  y  $35\% < \text{HR} < 45\%$ ). El moldeo de las probetas de tapia se realizó en 3 capas, introduciendo terceras partes del material húmedo dentro del molde y compactando con 25 golpes de un pisón de madera de 550 g cada capa, alisando finalmente la superficie superior con un papel de lija. Estas probetas fueron desmoldadas de manera inmediata, dejándose secar, al igual que el resto, por 7 días dentro del laboratorio.

Para el moldeo de las probetas de relleno de quincha se sumergió la paja en barbotina (barro de consistencia líquida) y, luego de unos segundos se extrajo, se escurrió el líquido excedente y se introdujo la paja recubierta de barbotina dentro del molde, generándose así un entrelazado de fibras embebidas en barbotina (Figura 2.c). Luego, se dejaron secar por 7 días y se extrajeron del molde.

## DETERMINACIÓN DE LA CONDUCTIVIDAD Y TRANSMITANCIA TÉRMICA

Para cada una de las probetas confeccionadas se determinó en una primera instancia la densidad aparente seca y luego el coeficiente de conductividad térmica, empleando para ello un equipo medidor de flujo de calor modelo HFM 446 Lambda Medium de la firma alemana Netzsch (Figura 3.a), adoptando una temperatura media de ensayo de  $17^{\circ}$  y una variación de  $\pm 10^{\circ}\text{C}$ , siguiendo el procedimiento estipulado por la norma IRAM 1860:2002. Previo a los ensayos, todas las probetas fueron secadas en estufa a  $100\text{ }^{\circ}\text{C}$  hasta lograr la constancia de masa. Dada la irregularidad de la superficie de las probetas, estas fueron ensayadas utilizando un kit complementario, proporcionado por el proveedor del equipo, constituido por un film de silicona y termocuplas adicionales (Figura 3.b y Figura 3.c) cuyo fin es mejorar la interfase de contacto entre las placas térmicas y las superficies rugosas de las caras de las probetas.

Una vez determinado el coeficiente de conductividad térmica de cada tipo de muestra ensayada, se calculó el coeficiente de transmitancia térmica (K) de diferentes paquetes constructivos de tierra según lo que señala el procedimiento indicado por la norma IRAM 11601:2010; adoptando los valores de resistencias térmicas superficiales interior y exterior propuestos por esta norma. Las fórmulas empleadas para el cálculo de K fueron las indicadas en las Ecuación 1, Ecuación 2 y Ecuación 3:

$$R_i = e_i / \lambda_i \quad (\text{Ecuación 1})$$

$$R_t = R_{\text{ext}} + R_i + R_{\text{int}} \quad (\text{Ecuación 2})$$

$$K = 1/R_t \quad (\text{Ecuación 3})$$

Siendo:

- $R_i$ : resistencia térmica de cada capa constitutiva del muro, en  $m^2K/W$
- $\lambda_i$ : coeficiente de conductividad térmica de cada material, en  $W/mK$
- $e_i$ : espesor de cada material que compone el muro, en m
- $R_t$ : resistencia térmica total del muro, en  $m^2K/W$
- $R_{ext}$ : resistencia térmica superficial exterior, adoptando como valor  $0.04 m^2K/W$
- $R_{int}$ : resistencia térmica superficial interior, adoptando como valor  $0.13 m^2K/W$
- K: transmitancia térmica total del muro, en  $W/m^2K$

## RESULTADOS

En la Tabla 2 se exponen los valores de densidad aparente ( $\rho$ ) y coeficiente de conductividad térmica ( $\lambda$ ) obtenidos para cada probeta ensayada, junto con el valor

promedio correspondiente, la desviación estándar ( $S_d$ ) y el coeficiente de variación ( $C_v$ ).

Por su parte, en la Tabla 3 se presentan los valores del coeficiente de transmitancia térmica (K) calculados para diferentes paquetes constructivos de muros que empleen los componentes de tierra analizados en este trabajo, propuestos en función de las prácticas constructivas locales. En dicha tabla, la columna denominada "elemento principal" hace referencia al espesor del adobe, BTC, tapia o quincha, según corresponda.

## DISCUSIÓN

### SOBRE LA DETERMINACIÓN DEL COEFICIENTE DE CONDUCTIVIDAD TÉRMICA

Como puede apreciarse en la Tabla 2, existe una correlación entre la densidad de los elementos

Tabla 2. Densidad aparente y coeficiente de conductividad térmica de las probetas. Fuente: Elaboración de los autores.

Material	Densidad				Conductividad térmica			
	$\rho_i$ (kg/m <sup>3</sup> )	$\rho_{prom}$ (kg/m <sup>3</sup> )	$S_d$ (kg/m <sup>3</sup> )	$C_v$ (%)	$\lambda_i$ (W/mK)	$\lambda_{prom}$ (W/mK)	$S_d$ (W/mK)	$C_v$ (%)
BTC	1587				0.59			
	1588	1595	13.4	0.8	0.61	0.60	0.01	1.7
	1611				0.59			
Adobe	1353				0.46			
	1364	1352	12.2	0.9	0.45	0.43	0.05	11.4
	1340				0.37			
Quincha	341				0.11			
	478	429	76.4	17.8	0.14	0.13	0.02	15.3
	468				0.15			
Tapia	1634				0.58			
	1697	1687	48.9	2.9	0.64	0.67	0.10	15.0
	1730				0.78			
Revoque grueso	1348				0.49			
	1303	1329	22.8	1.7	0.41	0.48	0.08	16.0
	1334				0.56			
Revoque fino*	1233				0.23			
	1286	1260	37.6	3.0	0.28	0.25	0.04	15.8

\* Solo pudieron realizarse 2 mediciones sobre esta serie.

Tabla 3. Cálculo del coeficiente de transmitancia térmica de diferentes paquetes constructivos de tierra.. Fuente: Elaboración de los autores.

Paquete constructivo	Espesores de cada capa (m)					Total	K (W/m²K)
	R. fino exterior	R. grueso exterior	Elemento principal	R. grueso interior	R. fino interior		
BTC (12 cm)	-	-	0.12	-	0.01	0.13	2.443
BTC (25 cm)	0.01	0.02	0.25	0.02	0.01	0.31	1.337
BTC con cámara de aire (4 cm)	0.01	0.02	0.25 + 0.12	-	-	0.44	0.969
Adobe	0.01	0.02	0.30	0.02	0.01	0.36	0.972
Tapia (30 cm) con revoques	0.01	0.02	0.30	0.02	0.01	0.36	1.282
Tapia vista	-	-	0.55	-	0.01	0.56	0.969
Quincha	0.01	0.02	0.15	0.02	0.01	0.21	0.675

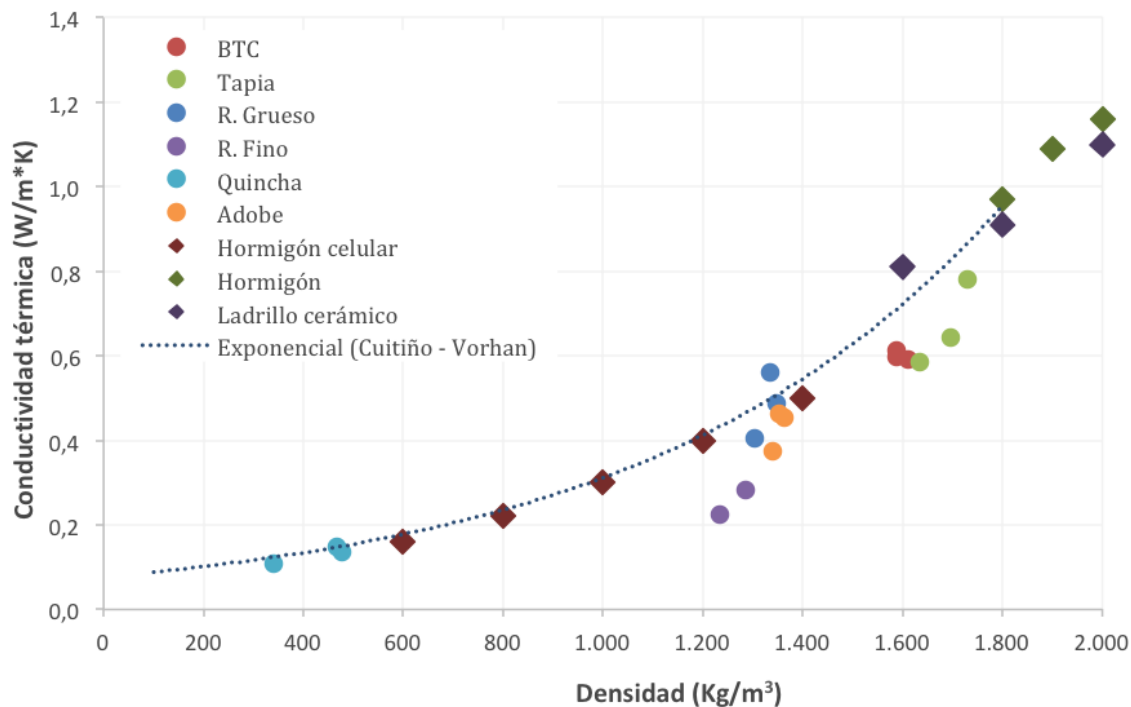


Figura 4. Correlación entre la densidad de elementos constructivos y su coeficiente de conductividad térmica. Fuente: Elaboración de los autores.

constructivos y su coeficiente de conductividad térmica, siendo el relleno de quincha, cuya densidad se encuentra en el orden de los 400 kg/m³, el que presenta el coeficiente de conductividad térmica más bajo, de aproximadamente 0.13 W/mK. Este coeficiente es comparable con el de los hormigones celulares de densidad similar (IRAM 11601:2010), pero significativamente mayor al de los materiales aislantes convencionales, tales como la lana de vidrio, el poliestireno expandido o la espuma de poliuretano (Navacerrada et al., 2021). Luego del relleno de quincha, el elemento constructivo con menor coeficiente de

conductividad térmica es el adobe con un  $\lambda_{prom}$  de 0.43 W/mK, seguido por el BTC con un  $\lambda_{prom}$  de 0.60 W/mK y finalmente la tapia con un  $\lambda_{prom}$  de 0.67 W/mK.

De acuerdo con los datos anteriores, se hace evidente la dispersión en los resultados de las muestras de relleno de quincha y de tapia, lo cual puede asociarse a la mayor variabilidad en las densidades de cada muestra, propias del proceso de confección de estas, correspondiente al relleno manual con gran volumen de quedades debido al entrelazamiento de las fibras



de paja en el relleno de quincha y a la compactación dinámica para la tapia.

En lo que respecta a las muestras de revoque grueso, tanto su densidad como  $\lambda$  son similares a los de las muestras de adobe. Esta similitud se atribuye a que, independientemente de los materiales empleados (paja para los adobes y arena + paja para el revoque grueso), la relación agua/tierra de ambos, principal causante de la porosidad y densidad aparente de los elementos constructivos de tierra (Laborel-Préneron et al., 2018), son iguales, de 0.34. Del mismo modo, las muestras de revoque fino con una relación agua/tierra de 0.47 -la mayor después de la del relleno de quincha- presentan luego la menor densidad y  $\lambda$  promedio.

En la Figura 4 pueden compararse los resultados experimentales obtenidos en esta investigación (puntos coloreados) con los recopilados y publicados por Volhard (2016) y Cuitiño et al. (2020) para diversos elementos constructivos de tierra (línea punteada). En ella puede apreciarse cómo, a pesar de la dispersión en los resultados alcanzados en este trabajo, la correlación exponencial entre la densidad de los elementos constructivos de tierra y su coeficiente de conductividad térmica es similar a la determinada por los autores citados. Esto permite pensar que, independientemente de las características

mineralógicas de la tierra empleada, la cantidad y tipo de arena, junto con las fibras vegetales utilizadas en la estabilización, el principal determinante del coeficiente de conductividad térmica de estos elementos constructivos es su densidad aparente final.

Además, en la Figura 4 se incluyen los valores de conductividad térmica para diferentes elementos constructivos de uso tradicional en la construcción, en correspondencia con sus densidades. Puede apreciarse como el hormigón celular, cuyas densidades se asemejan a la de los diferentes elementos constructivos de tierra, posee coeficientes de conductividad térmica muy similares a los determinados por Cuitiño et al. (2020) y Volhard (2016) (línea punteada), y que tanto el hormigón como el ladrillo cerámico macizo, a pesar de encontrarse en un rango de densidades mayores a los estudiados por los autores citados, siguen la misma tendencia.

### SOBRE LA TRANSMITANCIA TÉRMICA

La normativa argentina IRAM 11605:2010 establece tres niveles de confort higrotérmicos en invierno y verano para las diferentes zonas bioclimáticas del país, en función de las temperaturas medias exteriores. De esta manera, para el centro este de la provincia de Santa Fe (zona bioclimática IIb) los valores de

Tabla 4. Cálculo del coeficiente de transmitancia térmica de diferentes paquetes constructivos. Fuente: Elaboración de los autores a partir de los datos de la norma IRAM11601:2010.

Material	Espesores (m)					Total	K (W/m <sup>2</sup> K)
	R. fino exterior*	R. grueso exterior*	Elemento principal	R. grueso interior*	R. fino interior*		
Ladrillo común 25 cm	0.01	0.02	0.25	0.02	0.01	0.31	1,505
Ladrillo común con cámara de aire	0.01	0.02	0.25+0.25	0.02	0.01	0.56	0,924
Ladrillo hueco 18 cm	0.01	0.02	0.18	0.02	0.01	0.24	1.390
Ladrillo hueco con cámara de aire	0.01	0.02	18 + 12	0.02	0.01	0.36	0.927
Bloque de hormigón 20 cm	0.01	0.02	0.20	0.02	0.01	0.36	2.226
Bloque de hormigón con cámara de aire	0.01	0.02	0.20+0.20	0.02	0.01	0.36	1.540
Hormigón celular (600 kg/m <sup>3</sup> )	0.01	0.02	0.15	0.02	0.01	0.21	0.843

\* Revoques cementicios

transmitancia térmica para cada nivel de confort son los siguientes:

- Nivel A: 0.38 W/m<sup>2</sup>K
- Nivel B: 1.00 W/m<sup>2</sup>K
- Nivel C: 1.85 W/m<sup>2</sup>K

En función de los valores del coeficiente de transmitancia térmica determinados en la Tabla 3 para diferentes paquetes constructivos de tierra, a fin de cumplimentar con el nivel de confort higrotérmico B –nivel mínimo solicitado por la Secretaría de Vivienda (Arg.)–, la alternativa más adecuada es el muro de quincha revocado, el que, con un espesor total de 21 cm, presenta un K de 0.675 W/m<sup>2</sup>K.

En el caso de emplear muros de adobe de 30 cm, con revoques gruesos y finos sobre ambas caras, puede alcanzarse el nivel de confort B (0.972 W/m<sup>2</sup>K) con un espesor total de muro de 36 cm. Por su parte, para alcanzar este nivel de confort con un muro de BTC, la mejor alternativa es utilizar muros dobles (25 + 12 cm) con una cámara de aire interior de 4 cm y revoques únicamente en la cara exterior del muro, generándose un muro cuyo espesor final es de 44 cm, lo cual corresponde a una práctica habitual en la región (Dorado et al., 2022). Finalmente, empleando la técnica de tapia a la vista (solo con revoque fino interior), deben emplearse muros de 56 cm de espesor para alcanzar el nivel de confort B.

A pesar de los elevados espesores de los muros de adobe, BTC y tapia requeridos para alcanzar el nivel de confort B, debe considerarse que, tal como se muestra en la Tabla 4, con excepción de los muros construidos con ladrillos huecos y bloques de hormigón celular, ninguno de los paquetes constructivos denominados “tradicionales” alcanza este nivel de aislamiento sin la utilización de cámaras de aire y espesores totales de muro superiores a 50 cm.

## CONCLUSIONES

La evaluación de los resultados obtenidos en esta investigación permite concluir lo siguiente:

- Existe una correlación directa entre el coeficiente de conductividad térmica y la densidad aparente de los elementos constructivos confeccionados con tierra, arena y fibra vegetal del centro-este de la provincia de Santa Fe. Esto coincide con lo informado por diferentes investigadores del contexto nacional e internacional.
- La técnica de construcción con tierra con mayor capacidad de aislamiento térmico es la quincha, cumpliendo los requerimientos estipulados por la normativa argentina vigente, con un paquete

de 21 cm de espesor.

- Para espesores de muros inferiores a 40 cm, entre los paquetes constructivos propuestos en la Tabla 3, los muros de adobe (36 cm) presentan, después de la quincha (21 cm), el mejor nivel de aislamiento térmico, seguidos por los muros de tapia (36 cm) y finalmente los de BTC (31 cm).
- Las técnicas de construcción con tierra presentan en todos los casos un mejor desempeño térmico que los tradicionales muros de ladrillo cerámico macizo o bloques de hormigón, requiriéndose menores espesores para lograr iguales niveles de aislamiento térmico.

Finalmente, puede indicarse que el principal aporte de esta investigación es el fortalecimiento de políticas públicas que buscan incentivar la eficiencia energética en las viviendas argentinas, como es el caso del Programa Nacional de Etiquetado de Viviendas, implementado en el año 2023, en cuya base de datos no se encuentra disponible la opción de emplear muros construidos con elementos de tierra en las envolventes. Esta situación es motivada principalmente por la escasez de datos técnicos confiables sobre las propiedades térmicas de los elementos constructivos de tierra producidos con materiales locales.

## REFERENCIAS BIBLIOGRÁFICAS

- Balter, J., Ganem, C., & Barea, G. (2020). Mejoras en el desempeño energético de edificios en verano mediante la integración de envolventes ventiladas en fachadas norte y cubiertas. El caso de Mendoza, Argentina. *Hábitat Sustentable*, 10(2), 94–105. DOI: <https://doi.org/10.22320/07190700.2020.10.02.07>
- Cabrera Córdoba, C. (2019). Transmitancia Térmica de Sistemas Constructivos en Tierra [Universidad de Azuay]. In *Proyecto Final de Arquitectura*. Recuperado de: <http://dspace.uazuay.edu.ec/handle/datos/9268>
- Cabrera, S., Elert, K., Guillarducci, A., & Margasin, A. (2022). The effect of local pozzolans and lime additions on the mineralogical, physical and mechanical properties of compressed earth blocks in Argentina. *Revista de La Construcción*, 21(2), 248–263. DOI: <https://doi.org/10.7764/RDLC.21.2.248>
- Cagnon, H., Aubert, J. E., Coutand, C., & Magniont, C. (2014). Hygrothermal properties of earth bricks. *Energy and Buildings*, 80, 208–217. DOI: <https://doi.org/https://doi.org/10.1016/j.enbuild.2014.05.024>
- Costantini Romero, B., & Francisca, F. (2022). Construcción con bloques de suelo cemento como alternativa sostenible para envoltorio edilicia. *Hábitat Sustentable*, 12, 114–125. DOI: <https://doi.org/https://doi.org/10.22320/07190700.2022.12.01.08>

- Costantini Romero, B., Francisca, F., & Giomi, I. (2021). Hygrothermal properties of soil-cement construction materials. *Construction and Building Materials*, 313(October), 1–9. DOI: <https://doi.org/10.1016/j.conbuildmat.2021.125518>
- Cuitiño, M. G., Esteves, A., Maldonado, G., & Rotondaro, R. (2015). Análisis de la transmitancia térmica y resistencia al impacto de los muros de quincha. *Informes de La Construcción*, 67(537). DOI: <https://doi.org/10.3989/ic.12.082>
- Cuitiño, M. G., Rotondaro, R., & Esteves, A. (2020). Análisis comparativo de aspectos térmicos y resistencias mecánicas de los materiales y los elementos de la construcción con tierra. *Revista de Arquitectura*, 22(1), 138–151. Recuperado de: <https://editorial.ucatolica.edu.co/index.php/RevArq/article/view/2348>
- Dorado, P., Cabrera, S., & Rolón, G. (2022). Contemporary difficulties and challenges for the implementation and development of compressed earth block building technology in Argentina. *Journal of Building Engineering*, 46, 103748. DOI: <https://doi.org/10.1016/j.jobbe.2021.103748>
- El Fgaier, F., Lafhaj, Z., Chapiseau, C., & Antczak, E. (2016). Effect of sorption capacity on thermo-mechanical properties of unfired clay bricks. *Journal of Building Engineering*, 6, 86–92. DOI: <https://doi.org/10.1016/j.jobbe.2016.02.011>
- Esteves, J. M. & Cuitiño, M. G. (2020). El sistema constructivo de la quincha en zonas rurales del Norte de Mendoza (Argentina). *Estoa*, 9(17), 93–102. DOI: <https://doi.org/10.18537/est.v009.n017.a08>
- Fabbri, A., Morel, J.-C., Aubert, J.-E., Bui, Q.-B., Gallipoli, D. & Reddy, B. V. V. (2022). *Testing and Characterisation of Earth-based Building Materials and Elements. State-of-the-Art Report of the RILEM TC 274-TCE*. RILEM. DOI: <https://doi.org/https://doi.org/10.1007/978-3-030-83297-1>
- Fernandes, J., Peixoto, M., Mateus, R. & Gervásio, H. (2019). Life cycle analysis of environmental impacts of earthen materials in the Portuguese context: Rammed earth and compressed earth blocks. *Journal of Cleaner Production*, 241. DOI: <https://doi.org/10.1016/j.jclepro.2019.118286>
- IRAM (2002). Norma IRAM 1860: *Materiales aislantes térmicos. Método de ensayo de las propiedades de transmisión térmica en régimen estacionario, mediante el aparato de medición del flujo de calor*.
- IRAM (2010). Norma IRAM 11601: *Aislamiento térmico de edificios. Métodos de cálculo. Propiedades térmicas de los componentes y elementos de construcción en régimen estacionario*.
- IRAM (2010). Norma IRAM 11605: *Acondicionamiento térmico de edificios. Condiciones de habitabilidad en edificios. Valores máximos de transmitancia térmica en cerramientos opacos*.
- IRAM (2012). Norma IRAM 11603: *Acondicionamiento térmico de edificios. Clasificación bioambiental de la República Argentina*.
- IRAM (2017). Norma IRAM 11900: *Prestaciones energéticas en viviendas. Método de cálculo y etiquetado de eficiencia energética*.
- Laborel-Préneron, A., Magniont, C., & Aubert, J. E. (2018). Hygrothermal properties of unfired earth bricks: Effect of barley straw, hemp shiv and corn cob addition. *Energy and Buildings*, 178, 265–278. DOI: <https://doi.org/https://doi.org/10.1016/j.enbuild.2018.08.021>
- Millard, P., & Aubert, J. E. (2014). Effects of the anisotropy of extruded earth bricks on their hygrothermal properties. *Construction and Building Materials*, 63, 56–61. DOI: <https://doi.org/https://doi.org/10.1016/j.conbuildmat.2014.04.001>
- Minke, G. (2005). *Manual de construcción en tierra. La tierra como material de construcción y su aplicación en la arquitectura actual*. Fin de siglo.
- Mosquera Arancibia, P. (2013). *Medida de la conductividad térmica con el método de la aguja térmica, basado en la fuente lineal de calor transitorio para su aplicación en los cerramientos de adobes y bloques de tierra comprimida*. [Tesis de doctorado inédita] Universidad Politécnica de Madrid.
- Navacerrada, M. Á., De la Prida, D., Sesmero, A., Pedrero, A., Gómez, T., & Fernández-Morales, P. (2021). Comportamiento acústico y térmico de materiales basados en fibras naturales para la eficiencia energética en edificación. *Informes de La Construcción*, 73(561), e373. DOI: <https://doi.org/10.3989/ic74558>
- Ouedraogo, K. A. J., Aubert, J.-E. E., Tribout, C., Escadeillas, G. & Escadeillas, G. (2020). Is stabilization of earth bricks using low cement or lime contents relevant? *Construction and Building Materials*, 236, 117578. DOI: <https://doi.org/10.1016/j.conbuildmat.2019.117578>
- Pacheco-Torgal, F. & Jalali, S. (2012). Earth construction: Lessons from the past for future eco-efficient construction. *Construction and Building Materials*, 29, 512–519. DOI: <https://doi.org/10.1016/j.conbuildmat.2011.10.054>
- Rotondaro, R. (2018). Construir con tierra: Tecnología y arquitectura del siglo XX. *Notas CPAU*. Recuperado de: <https://www.revistanotas.org/revistas/41/2295-construir-con-tierra-tecnologia-y-arquitectura-del-siglo-xxi>
- Saidi, M., Soukaina, C., Belkacem, Z., & Seidiki, E. (2018). Stabilization effects on the thermal conductivity and sorption behavior of earth bricks. *Construction and Building Materials*, 167, 566–577. DOI: <https://doi.org/https://doi.org/10.1016/j.conbuildmat.2018.02.063>
- Tepale Gamboa, B. A. (2016). *La tierra vertida compactada como sistema tecnificado para la autoconstrucción de vivienda en zonas rurales* [Universidad Nacional Autónoma de México]. Recuperado de: <https://repositorio.unam.mx/contenidos/76043>
- Volhard, F. (2016). *Construire en terre allegee*. Acte Sud - Craterre.

Wieser, M., Onnis, S., & Meli, G. (2018). Conductividad térmica de la tierra alivianada con fibras naturales en paneles de quincha. In R. PROTERRA (Ed.), *Actas del 18° Seminario Iberoamericano de Arquitectura y Construcción con Tierra* (pp. 1–10). Recuperado de: <https://files.pucp.edu.pe/facultad/arquitectura/2019/11/27173426/2018-SIACOT-Wieser-Onnis-Meli.pdf>